

## Вещественный состав, минералогия и петрология кимберлитовых пород трубыки Дьянга

С.А.БАБУШКИНА, З.А.АЛТУХОВА

Трубка Дьянга расположена в пределах Куйокского кимберлитового поля Якутской алмазоносной провинции (ЯАП) (рис. 1). Большинство тел данного поля неалмазоносны, незначительная часть относится к потенциально алмазоносным и лишь единичные тела, в т.ч. трубка Дьянга, характеризуются убогой алмазоносностью. Традиционные критерии алмазоносности такие как наличие в породах минералов алмазной ассоциации, низкие концентрации титана и железа и другие [4], для алмазоносных тел северной части Якутской алмазоносной провинции не характерны. Этим и определяется актуальность детального изучения данного объекта.

Возраст трубыки 234–21 млн. лет, определенный Rb-Sr методом (А.И.Зайцев, ИГАБМ СО РАН), соответствует раннемезозойской эпохе кимберлитового магматизма ( $T_2$ ). Возраст пород, слагающих сопряженную с трубкой алмазоносную Жилу-79, установленный методом треков урана, 158–12 млн. лет ( $J_3$ ) и соответствует среднемезозойской эпохе [8]. Аналогичный возраст трубыки 156–10 млн. лет дали и U-Pb определения методом SHRIMP, проведенные У.Гриффином с коллегами [15]. Вмещающие породы имеют вендинский возраст, что характерно и для трубок Архангельской алмазоносной провинции, которые, как известно, также находятся на севере, но в европейской части России.

В основу изучения положены коллекции лаборатории геологии и петрологии кимберлитов ИГАБМ СО РАН. Керновое опробование проведено по скважине на глубину 59 м. Состав пород определялся в лабораториях химико-аналитической и спектральных, а минералов — в рентгеновских методах анализа ИГАБМ СО РАН.

**Петрография.** Трубка Дьянга сложена автолитовой кимберлитовой брекчией с неравномерным содержанием ксенолитов осадочных пород, включений серпентинитов и автолитов (рис. 2, А). Ксенолиты в основном представлены крупнозернистыми карбонатными породами. Значительно реже встречаются интенсивно измененные ксенолиты хлорит-серпентин-тальк-слюдистого состава волокнисто-пластинчатого строения с редкими мелкими (0,02 мм) зернами сфена, или микрозернистые флогопит-цеолит-серпентиновые породы с пластинчатыми выделениями слюды и зернами кварца. Автолиты в породе мелкие, их размер не превышает 3–6 мм. Среди автолитов отмечаются ядерные и безъядерные образования. Ядра чаще всего — вкрапленники в различной степени серпентинизированного оливина (см. рис. 2, Б, В), ксенолиты осадочных пород, реже макрокристы флогопита (см. рис. 2, Г). В ядрах более крупных автолитов нередко присутствуют макрокристы серпентинизированного оливина (см. рис. 2, Д),

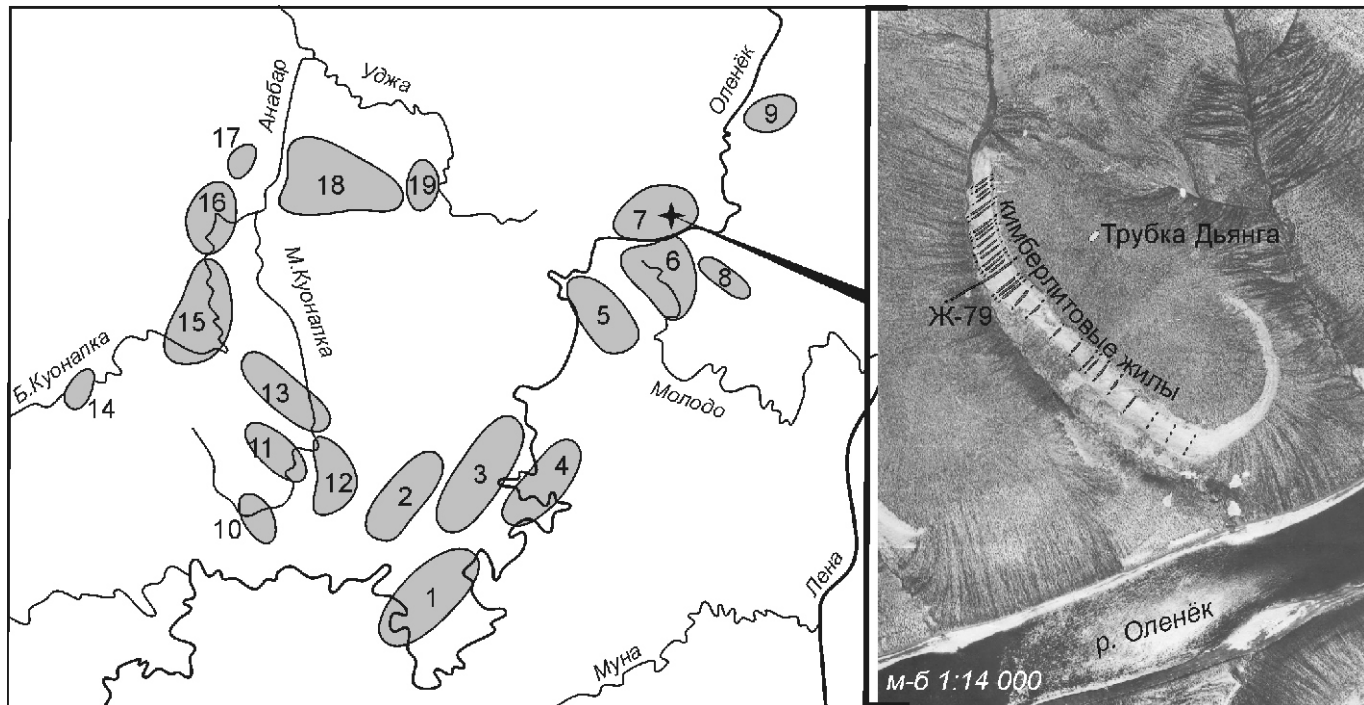
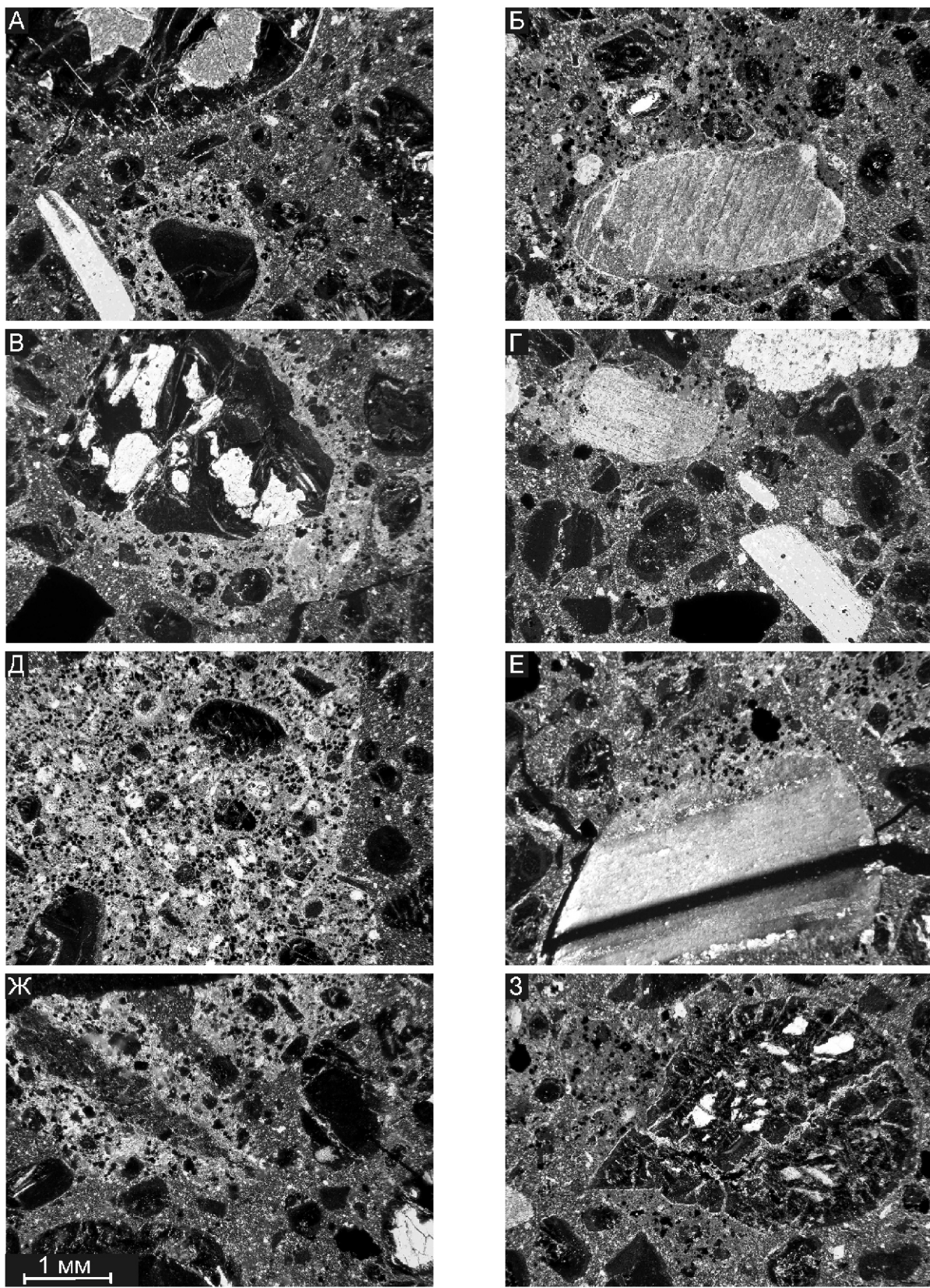


Рис. 1. Схема расположения кимберлитовых полей северной части Якутской кимберлитовой провинции:

кимберлитовые поля: 1 — Чомурдахское, 2 — Восточно-Укуктское, 3 — Западно-Укуктское, 4 — Огонер-Юряхское, 5 — Мерчимденское, 6 — Молодинское, 7 — Куойское, 8 — Толуопское, 9 — Хорбусонское, 10 — Куранахское, 11 — Биригиндинское, 12 — Лучакансское, 13 — Дюкенское, 14 — Среднекуонапское, 15 — Ары-Мастахское, 16 — Старореченское, 17 — Орто-Ыаргинское, 18 — Эбеляхское, 19 — Томторское



**Рис. 2. Кимберлитовые породы, слагающие трубку Дьянга:**

автолитовая кимберлитовая брекчия: А — с порфировыми выделениями серпентинизированного оливина и флогопита, в ядре зерно ильменита, Б — в автолите неизмененный оливин, В — в ядре серпентинизированного оливина, Г — в ядре флогопит; Д — крупный автолит с порфировыми выделениями серпентинизированного оливина; автолитовая кимберлитовая брекчия: Е — в ядре ксенолит осадочной породы со следами перекристаллизации, Ж — со следами резорбции автолитов вмещающей кимберлитовой брекчией, З — вкрапленник серпентинизированного оливина расположен как в автолите, так и во вмещающей породе; николи

флогопита, редко ильменита и гранатов. В связующей массе кимберлитовой брекции отмечаются макрокристы флогопита, ильменита и гранатов от 2 до 6 мм. С глубиной содержание обломков осадочных пород и автолитов уменьшается.

В верхних горизонтах трубы (до 54,7 м) залегает *мелкообломочная автолитовая кимберлитовая брекция* серого цвета с высоким (25%) содержанием ксенолитов осадочных пород размером 2—8 мм. Более крупные обломки (10—12 мм) отмечаются редко.

Текстурные особенности брекции определяются распространением мелких автолитов, количество которых достигает 10%. Вокруг ксенолитов осадочных пород образуются асимметричные мелкопорфировые оболочки шириной 1—4 мм (см. рис. 2, Е). Наиболее распространены автолиты карбонат-флогопит-перовскит-ильменитового состава. Кроме того, зерна перовскита, ильменита и титаномагнетита образуют прерывистые каймы вокруг псевдоморфоз по оливину и равномерно распределяются среди криптозернистого карбонатного базиса основной массы, в котором расположены мелкие удлиненные пластинки светло-бурового флогопита. Зерна перовскита и ильменита часто образуют сростки. Часть автолитов имеет карбонат-серпентин-титаномагнетитовый состав и микролитовую структуру основной массы. Мелкие автолиты характеризуются витрофировой структурой основной массы и карбонат-лимонит-гётитовым составом. Редко встречаются ильменитсодержащие безъядерные мелкопорфировые автолиты с крупнозернистой основной массой, высоким содержанием титаномагнетита при отсутствии перовскита. Отличительная особенность данного типа автолита — присутствие относительно крупных зерен карбоната в основной массе, как в форме удлиненных пластинок размером 0,1—0,05 мм, возможно замещившего флогопит, так и сохранивших очертания мелких псевдоморфоз серпентина по оливину.

В интервале глубин 54,7—55,7 м залегает *атакситовая автолитовая кимберлитовая брекция* с низким содержанием ксенолитов и автолитов (3—5%). Для породы характерны высокая степень сохранности оливина и широкое распространение частично резорбированных мелких серпентинитов с реликтами оливина. Атакситовая текстура определяется наличием на отдельных участках ядерных автолитов с асимметричными мелкопорфировыми оболочками (см. рис. 2, Б). Особенность состава таких автолитов — присутствие оливина как в ядрах (крупные зерна), так и в оболочках (мелкие вкрапленники). Среди последних преобладают зерна идиоморфной, гипидиоморфной, реже овальной формы, заключенные в сплошные каймы перовскита, ильменита и титаномагнетита. Кроме оливина в оболочках встречаются округлые и овальные вкрапленники флогопита. Базис основной массы оболочек представлен криптозернистым карбонатом, в котором расположены мелкие (0,05—0,1 мм) желтовато-бурые удлиненные пластинки флогопита и идиоморфные зерна перовскита, нередко в срастании с ильменитом. Контакты автолитов со связующей массой неровные, постепенные, со следами резорбции (см. рис. 2, Ж). Часто граница проходит посередине псевдоморфозы серпентина по оливину (см. рис. 2, З), одна часть которой находится в автолите оливин-флогопит-карбонат-перовскитового состава, а вторая — во вмещающем реликто-порфировом микрозернистом базисе серпентин (оливин)-хлорит (флогопит)-карбонатного состава, в котором зерна перовскита и титаномагнетита со-

храняются лишь вокруг порфировых выделений серпентинизированного оливина.

В среднем в кимберлитовой брекции содержание порфировых выделений в различной степени серпентинизированного оливина составляет 40—50% объема породы. На долю более крупных (2—5 мм) корродированных овальной формы вкрапленников приходится 5—10%. В псевдоморфозах серпентина по оливину содержатся включения относительно крупных (0,06 мм) зерен титаномагнетита. В отдельных вкрапленниках зафиксированы включения циркона.

**Жила-79** сложена кимберлитовой брекцией с массивной текстурой цемента темно-серого цвета. Ксенолиты представлены известняками, их содержание составляет 20%, размер 2—7 см. Контакты ксенолитов с основной массой вмещающих пород четкие, без видимых изменений. Визуально в породе выделяются красный и темно-красный пироп, размером 1—3 мм; желваки пикроильменита округлой формы 1—5 мм и его осколки со сглаженными углами размером 1—2 мм; оливин и псевдоморфозы серпентина по оливину размером от 2 до 5 мм.

**Минералогия.** Химический состав основных минералов изучаемых пород приведен в таблицах 1—4.

**Оливин** широко распространен и встречается в виде порфировых выделений в качестве ядер автолитовых образований и как минерал связующей массы. Большинство кристаллов имеет круглую или эллипсовидную форму, а мелкие зерна (~1 мм) иногда обладают кристаллографической огранкой. Четыре зерна оливина (табл. 1, анализы 5, 11, 16, 18) с содержанием форстеритового компонента 91,1—91,7%,  $\text{Cr}_2\text{O}_3$  0,03—0,06% и  $\text{CaO}$  0,04—0,05% отвечают по составу аналогам из включений в алмазах [3].

**Гранаты** в кимберлитовой брекции встречаются в виде обломков и единичных зерен искаженно-овальной формы. Среди обломков отмечены индивиды с реликтами зональной келифитовой каймы, строение внутренней части которой тонковолокнистое и состав хлоритовый, а внешняя, призматически-зернистая часть сложена слюдой. При этом мелкие пластинки флогопита расположены параллельно контуру зерна. Иногда келифитизация приводит к полному исчезновению граната.

По составу (табл. 2) преобладают гранаты перидотитов, среди которых заметную роль (31%) играют потенциально алмазоносные равномернозернистые лерцолиты и верлиты. Подчиненная роль (19%) принадлежит гранатам из ильменит-рутиновых магнезиально-железистых и высокохромистых магнезиальных эклогитов. Кроме того, выделяется еще одна группа гранатов (7%), принадлежащая к алмазоносным магнезиально-железистым биминеральным эклогитам [6]. В Жиле-79 встречено зерно граната алмазной ассоциации дунит-гарцбургитового парагенезиса [6]. Данные, полученные авторами, также указывают на то, что значительная часть гранатов как трубки, так и жилы, принадлежит гранатам из лерцолитов и пироксенитов (рис. 3, А).

**Ильменит** встречается в виде ксеноморфных зерен размером 0,1—0,5 мм, в периферийных зонах которых расположены округлые выделения перовскита. В породах трубы и жилы минерал представлен пикроразностями с низкой ( $\text{Cr}_2\text{O}_3$  0,10%) и умеренной ( $\text{Cr}_2\text{O}_3$  2,27%) хромистостью (см. табл. 2, см. рис. 3, Б, В). Среди ильменитов из жилы зафиксировано зерно низкомагнезиального некимберлитового происхождения. По данным А.И.Дака [6], все

1. Представительные анализы оливинов из кимберлитовых пород трубки Дьянига

Компо-ент	Микрокристаллы, мк										Незмененные макрокристаллы										Частично и сильно измененные макрокристаллы										
	20	10	50	50	50	50	50	100	60	120	50	n	4	n	2	n	1	n	1	n	3	n	2	n	1	n	1	n	2	n	1
SiO <sub>2</sub>	40,78	36,66	37,02	38,45	37,35	39,29	40,40	40,32	40,82	40,18	40,47	39,28	39,14	39,84	37,65	39,57	33,14	39,07	37,66	34,61	33,02										
TiO <sub>2</sub>	0,00	0,01	0,02	0,00	0,00	0,00	0,00	0,01	0,00	0,00	0,00	0,00	0,01	0,00	0,00	0,00	0,00	0,00	0,00	0,00	0,00	0,00	0,00	0,00	0,00	0,00	0,00	0,00	0,00	0,00	
Cr <sub>2</sub> O <sub>3</sub>	0,05	0,03	0,01	0,05	0,04	0,02	0,02	0,01	0,00	0,02	0,06	0,01	0,02	0,00	0,02	0,00	0,03	0,05	0,04	0,08	0,00	0,00									
FeO <sub>общ</sub>	10,47	12,92	12,70	9,17	8,28	7,80	8,21	13,23	16,84	7,53	8,15	11,44	14,09	7,45	8,67	8,06	7,95	8,20	8,28	7,80	7,36										
MnO	0,10	0,16	0,13	0,14	0,12	0,10	0,12	0,15	0,16	0,12	0,11	0,15	0,15	0,10	0,13	0,13	0,08	0,11	0,17	0,08	0,09										
MgO	48,24	43,80	45,59	43,88	47,43	51,76	51,54	47,21	43,38	49,58	49,14	45,80	43,04	47,94	48,44	46,20	52,93	47,24	45,92	48,54	44,21										
CaO	0,13	0,07	0,08	0,10	0,05	0,04	0,04	0,08	0,06	0,01	0,04	0,09	0,06	0,03	0,07	0,05	0,10	0,04	0,06	0,10	0,03										
Na <sub>2</sub> O	0,00	0,00	0,00	0,02	0,00	0,00	0,00	0,00	0,00	0,02	0,00	0,00	0,00	0,01	0,01	0,00	0,00	0,00	0,00	0,00	0,00										
K <sub>2</sub> O	0,01	0,01	0,00	0,00	0,00	0,00	0,01	0,01	0,01	0,00	0,01	0,01	0,00	0,01	0,02	0,02	0,01	0,00	0,00	0,01	0,00										
Сумма	99,77	93,65	95,56	91,82	93,26	98,99	100,34	101,00	101,27	97,45	97,97	96,78	96,51	95,36	95,00	94,07	94,26	94,70	92,18	91,13	84,71										
Fo	89,1	85,8	86,5	89,5	91,7	92,2	91,8	86,4	82,1	92,1	91,5	87,7	84,5	92,0	90,9	91,1	92,2	91,4	90,8	91,7	91,5										

*Примечание.* Анализы выполнены С.А.Бабушкиной на рентгеновском микроанализаторе «Самебах-микро» в ИГАБМ СО РАН; n — число анализов

**2. Пределы колебаний и средние значения главных компонентов состава макрокристаллов минералов в породах трубы Дьянга и Жилы-79**

Минерал	Число анализов	Тело	Компонент		
Гранат	139	Трубка Дьянга	<b>CaO</b>	<b>FeO<sub>общ</sub></b>	<b>Cr<sub>2</sub>O<sub>3</sub></b>
			<u>3,75—6,12</u> 4,79	<u>0,28—13,39</u> 8,14	<u>0,20—6,90</u> 2,89
Ильменит	53	Трубка Дьянга (проба 1)	<b>MgO</b>	<b>TiO<sub>2</sub></b>	<b>Cr<sub>2</sub>O<sub>3</sub></b>
			<u>6,35—11,75</u> 8,65	<u>40,28—51,61</u> 47,79	<u>0,09—1,34</u> 0,54
	68	Трубка Дьянга (проба 2)	<u>6,45—13,35</u> 8,90	<u>42,71—53,77</u> 47,91	<u>0,10—1,92</u> 0,52
Шпинель	60	Жила-79	<u>0,51—11,24</u> 8,29	<u>40,15—50,21</u> 45,76	<u>0,19—2,27</u> 0,78
			<b>Al<sub>2</sub>O<sub>3</sub></b>	<b>TiO<sub>2</sub></b>	<b>Cr<sub>2</sub>O<sub>3</sub></b>
			<u>2,34—37,50</u> 10,94	<u>0,00—2,84</u> 0,54	<u>18,45—61,95</u> 49,89

*Примечания.* 1. Анализы выполнены на рентгеновском микроанализаторе Jeol в ИГАБМ СО РАН; аналитик Н.В.Лескова. 2. В числите — вариации состава, в знаменателе — средние значения по выборке.

зерна пикроильменита крупнее 150 мк имеют реакционную кайму титаномагнетит-перовскитового состава. Образования ильменита размером 100—5 мк интенсивно замещаются титаномагнетитом вплоть до полных псевдоморфоз. Встречено зерно низкомагнезиального ильменита размером 15 мк со структурами распада армалколита, по своим характеристикам — типичный представитель ильменитов из магнезиально-железистых эклогитов. Подобным составом (наличие структур распада не исследовалось) обладает изученный авторами макрокристалл ильменита из пород трубы. Весь пикроильменит независимо от размера зерен имеет ксеногенное происхождение.

Среди макрокристаллов *шпинели* из пород Жилы-79 выделяются представители из алмазоносных и потенциально алмазоносных дунитов и гарцбургитов, гранат-хромшпинелевых и шпинелевых ультрабазитов (см. табл. 2, рис. 3, Г, Д). По наблюдениям автора работы [6], алюмохромит, также как и пикроильменит, окружен титаномагнетитовой оболочкой. В единичных знаках отмечены алюмохромиты и среди более мелких зерен (100 мк). Среди частиц размером меньше 50 мк преобладает титаномагнетит. В породах трубы Дьянга (табл. 3, анализы 1, 2) авторы статьи проанализировали два микрозерна хромшпинели (50—50 мк) и одно зерно ферришпинели (250—150 мк).

Макрокристаллы *флогопита* размером 5—2 мм, реже 8—5 мм, четко плеохроирующие от светло-бурового по *Np* до интенсивно бурого цвета по *Ng*, нередко карбонатизированы по трещинкам и со стороны призматических граней. Слюды окружены относительно крупными (0,1 мм) зернами титаномагнетита и ильменита. На отдельных участках наблюдаются изогнутые узкие листы с четкой спайностью по первому пинакоиду. Иногда встречаются крупные (4 мм) пластинки вермикулита. В связующей массе на от-

дельных участках отмечаются макрокристаллы флогопита размером 500 мк и красновато-бурые пластинки биотита размером 1,5—0,05 мм.

Предварительное изучение состава (табл. 4) зерен флогопита показало, что среди них встречаются представители из различных мантийных ксенолитов (см. рис. 3, Е, Ж), природа которых может быть как первичной, так и вторичной [13, 14], а также аналоги фенокристовой ассоциации флогопитов в кимберлитах Якутии [1, 17]. Кроме того, на диаграмме Р.Митчелла [17], часть изученных флогопитов попадает в поле микрофенокристовой ассоциации оранжеритов и лампроитов. Однако, как будет показано дальше, по химическому составу породы трубы Дьянга не принадлежат ни к оранжеритам, ни к лампроитам. Это позволяет утверждать, что флогопиты являются ксенокристаллами.

**Петрохимические особенности пород.** Коэффициент контаминации для всех проанализированных образцов

$$C.I. (SiO_2 / Al_2O_3 / Na_2O) / (2K_2O / MgO) = 1,02—1,34$$

не превысил предельного 1,7 значения для неконтаминированных кимберлитов [7], что достигнуто благодаря методике отбора проб, применяемой в ИГАБМ СО РАН уже на протяжении многих лет, когда из навесок удаляется весь визуализирующийся ксеногенный материал. Данные по содержанию главных элементов пород трубы и жилы, приведенные в табл. 5, указывают на то, что они относятся к типичным кимберлитам [16]. Отличительная черта — пониженные содержания в их составе CO<sub>2</sub>, K<sub>2</sub>O и CaO. Низкие содержания двух последних компонентов хорошо увязываются с незначительным количеством флогопита, карбоната, перовскита, а также отсутствием апатита и монтичеллита.

Свообразие состава пород трубы Дьянга прослеживается при анализе петрохимических диаграмм, предложен-

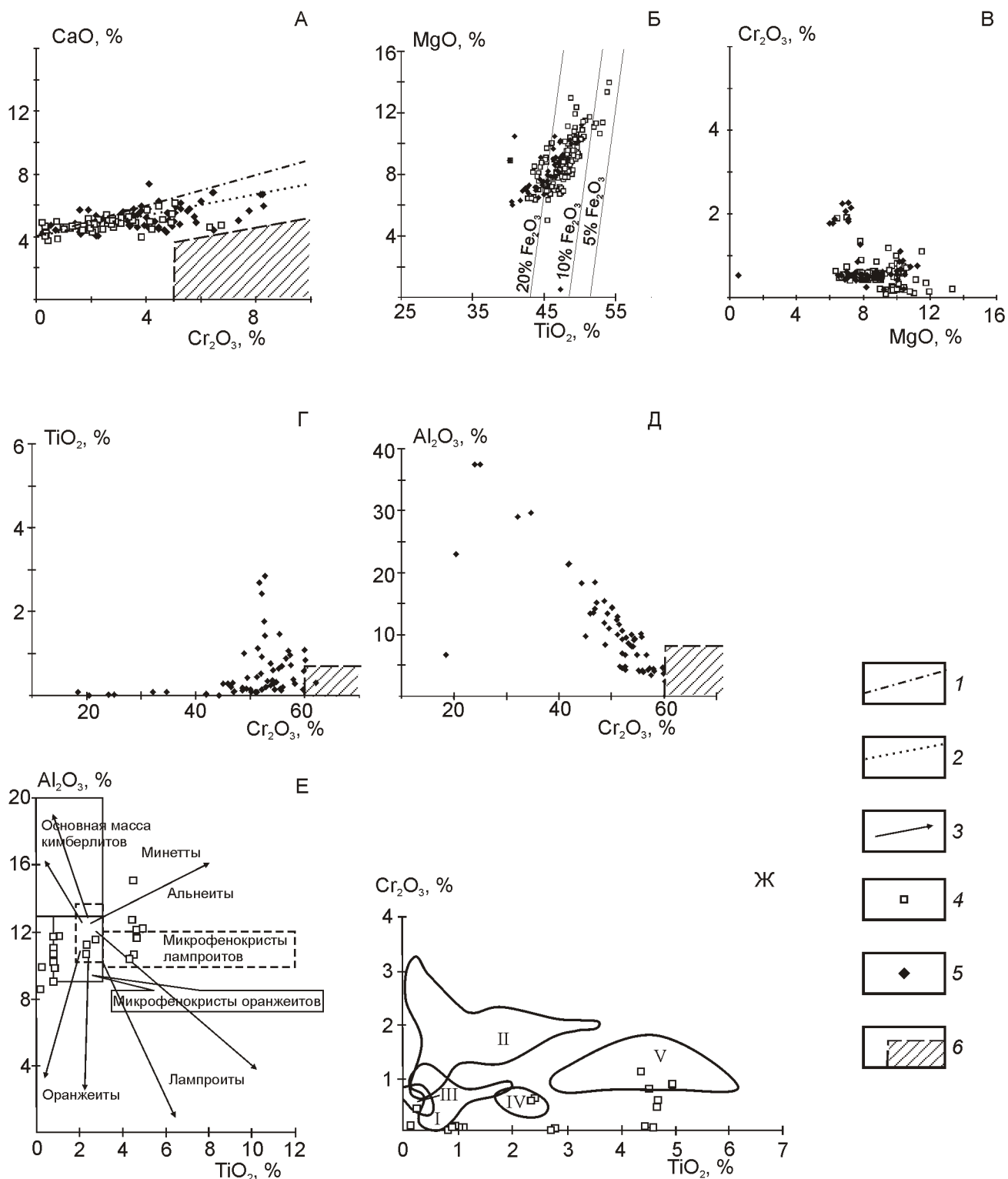


Рис. 3. Составы гранатов (А), ильменитов (Б, В), шпинелей (Г, Д) и флогопитов (Е, Ж) из кимберлитовых пород трубы Д'янга и Жилы-79:

линий трендов состава: 1 — гранатов из пироксенитов [17], 2 — гранатов из лерцолитов [12], 3 — флогопитов [17]; точки состава минералов из: 4 — трубки Д'янга, 5 — Жилы-79; поля составов: 6 — минералов алмазной ассоциации [12], флогопитов: I — первичной слюды из трубки Кимберли, II — вторичных слюд из трубки Кимберли [14], III — из флогопит-хромдиопсид-хромшпинелевых агрегатов в ультраосновных ксенолитах, IV — из пород серии гранатовых клинопироксенитов—гранатовых оливиновых вебстериотов—гранатовых лерцолитов, V — из метаморфических перидотитов и пироксенитов [13]

**3. Представительные анализы шпинели и ильменита из кимберлитовых пород трубы Дьянга**

Компонент	Шпинель, мк						Ильменит, мк					
	50 50 250 150			Макрокристаллы			150 140 200 100 100 40			200 200 30		
	<i>n</i> 2	<i>n</i> 1	<i>n</i> 3	<i>n</i> 1	центр	край	<i>n</i> 1	<i>n</i> 3	<i>n</i> 2	<i>n</i> 1	<i>n</i> 2	<i>n</i> 1
SiO <sub>2</sub>	0,23	0,28	0,02	0,00	0,00	0,00	0,00	0,02	0,00	0,06	0,08	0,01
TiO <sub>2</sub>	3,35	27,72	47,59	48,32	49,60	49,35	50,41	43,47	46,75	48,44	52,80	51,94
Al <sub>2</sub> O <sub>3</sub>	10,23	5,78	0,00	0,00	0,01	0,00	0,00	0,00	0,00	0,29	0,00	0,25
Cr <sub>2</sub> O <sub>3</sub>	45,12	1,21	0,44	0,43	0,02	0,06	0,58	0,88	0,41	0,46	1,39	0,48
FeO <sub>обш.</sub>	25,85	45,47	43,20	38,71	39,07	35,86	33,89	45,32	43,13	39,68	31,35	36,48
MnO	0,43	0,62	0,26	0,28	0,22	0,25	0,37	0,24	0,26	0,26	0,20	0,23
MgO	11,16	14,57	7,60	9,58	9,15	10,27	11,43	6,42	6,85	9,03	10,64	11,06
CaO	0,06	0,13	0,02	0,03	0,02	0,04	0,08	0,02	0,03	0,07	0,04	0,03
Na <sub>2</sub> O	0,06	0,21	0,10	0,01	0,00	0,05	0,07	0,03	0,20	0,20	0,00	0,13
K <sub>2</sub> O	0,02	0,00	0,00	0,01	0,01	0,01	0,00	0,01	0,00	0,02	0,01	0,00
Сумма	96,49	95,99	99,23	97,37	98,09	95,90	96,83	96,39	97,65	98,14	96,79	100,23
Si	0,008	0,009	0,000	0,000	0,000	0,000	0,000	0,000	0,000	0,001	0,000	0,000
Ti	0,085	0,697	0,832	0,869	0,890	0,896	0,900	0,806	0,853	0,866	0,951	0,901
Al	0,405	0,228	0,000	0,000	0,000	0,000	0,000	0,000	0,000	0,008	0,000	0,007
Cr	1,198	0,032	0,008	0,008	0,000	0,001	0,011	0,017	0,008	0,009	0,026	0,009
Fe <sup>3</sup>	0,217	0,341	0,292	0,254	0,220	0,209	0,193	0,373	0,294	0,268	0,061	0,189
Fe <sup>2</sup>	0,510	0,931	0,568	0,520	0,559	0,515	0,479	0,561	0,581	0,521	0,566	0,515
Mn	0,013	0,018	0,005	0,006	0,004	0,005	0,007	0,005	0,005	0,004	0,004	0,005
Mg	0,559	0,726	0,270	0,341	0,325	0,370	0,404	0,236	0,248	0,320	0,380	0,402
Ca	0,003	0,005	0,001	0,001	0,001	0,002	0,001	0,001	0,002	0,001	0,001	0,003
Na	0,004	0,014	0,005	0,000	0,002	0,003	0,001	0,009	0,009	0,000	0,006	0,000
K	0,001	0,000	0,000	0,000	0,000	0,000	0,000	0,000	0,001	0,000	0,000	0,000
Fe <sup>2</sup> /(Fe <sup>2</sup> Mg)	47,7	56,2	67,8	60,3	63,2	58,2	54,3	70,4	70,1	61,9	59,9	57,5
Ilmenite	—	—	57,4	52,3	56,0	51,8	48,5	56,8	59,2	53,1	57,7	51,8
Ptyrophanite	—	—	0,5	0,6	0,4	0,5	0,8	0,5	0,5	0,4	0,5	1,1
Geikielite	—	—	27,3	34,4	32,6	37,2	40,9	23,9	25,3	32,7	38,7	41,5
Hematite	—	—	14,8	12,8	11,0	10,5	9,8	18,9	15,0	13,7	3,1	9,5

*Примечание.* Анализы выполнены С.А.Бабушкиной на рентгеновском микроанализаторе «Самебах-micro» в ИГАБМ СО РАН.

#### 4. Представительные анализы флогопита и граната из кимберлитовых пород трубки Дынга

Компонент	Флогопит						Гранат	
	Макрокристаллы		Микрокристаллы					
	<i>n</i> 7	<i>n</i> 1	<i>n</i> 2	<i>n</i> 1	<i>n</i> 1	<i>n</i> 5		
	1	2	3	4	5	6	7	
SiO <sub>2</sub>	41,65	41,35	41,76	39,31	37,49	39,39	41,58	
TiO <sub>2</sub>	0,88	0,27	2,36	4,30	4,52	4,62	0,26	
Al <sub>2</sub> O <sub>3</sub>	10,70	9,96	11,08	10,65	12,87	12,45	18,64	
Cr <sub>2</sub> O <sub>3</sub>	0,02	0,40	0,58	1,11	0,01	0,54	4,14	
FeO <sub>общ.</sub>	6,61	2,92	4,02	5,57	7,23	5,72	7,01	
MnO	0,04	0,02	0,05	0,03	0,06	0,03	0,33	
MgO	24,19	29,05	23,97	23,27	22,21	21,62	22,47	
CaO	0,02	0,03	0,02	0,03	0,06	0,05	5,09	
Na <sub>2</sub> O	0,01	0,11	0,14	0,26	0,21	0,13	0,00	
K <sub>2</sub> O	10,52	10,17	10,40	10,05	10,11	10,46	0,00	
Сумма	94,66	94,28	94,37	94,58	94,77	95,00	99,52	
Si	3,002	2,962	2,984	2,858	2,741	2,824	2,967	
Al <sup>IV</sup>	0,898	0,841	0,933	0,913	1,109	1,037	0,033	
Al <sup>VII</sup>	0,011	0,000	0,000	0,000	0,000	0,014	1,535	
Ti	0,048	0,014	0,127	0,235	0,249	0,249	0,014	
Cr	0,001	0,023	0,033	0,064	0,000	0,031	0,234	
Fe <sup>3+</sup>	0,099	0,000	0,095	0,000	0,000	0,167	0,237	
Fe <sup>2+</sup>	0,300	0,175	0,145	0,339	0,442	0,176	0,181	
Mn	0,003	0,001	0,003	0,002	0,004	0,002	0,020	
Mg	2,598	3,102	2,554	2,522	2,421	2,312	2,390	
Ca	0,002	0,002	0,002	0,002	0,005	0,004	0,389	
Na	0,002	0,016	0,019	0,037	0,030	0,018	0,000	
K	0,968	0,929	0,949	0,932	0,943	0,957	0,000	
Сумма катионов	7,930	8,065	7,843	7,903	7,943	7,790	8,000	

Примечание. Анализы выполнены С.А.Бабушкиной на рентгеновском микроанализаторе «Camebach-micro» в ИГАБМ СО РАН.

ных А.В.Лапиным с коллегами [10]. Так, по соотношению Al<sub>2</sub>O<sub>3</sub>—Na<sub>2</sub>O—K<sub>2</sub>O—MgO/FeO<sub>общ.</sub>, MgO/FeO<sub>общ.</sub>—K<sub>2</sub>O/Al<sub>2</sub>O<sub>3</sub>, MgO/FeO<sub>общ.</sub>—SiO<sub>2</sub>/MgO и FeO<sub>общ.</sub>—TiO<sub>2</sub> точки состава пород попадают в область перекрытия полей алмазоносных и убогоалмазоносных и неалмазоносных пород Якутской кимберлитовой провинции (рис. 4, А, Б, В, Д). Тогда как на графике TiO<sub>2</sub>—K<sub>2</sub>O они тяготеют к области алмазоносных кимберлитов (см. рис. 4, Г). На рис. 4, Е, отражающем антагонизм содержаний CaO и MgO в кимберлитах, видно, что точки состава пород трубки Дынга, из-за недосыщенности CaO, занимают крайнее нижнее положение среди всего большого сообщества щелоч-

но-ультраосновных пород. Только на графиках FeO<sub>общ.</sub>—TiO<sub>2</sub> (см. рис. 4, Д) и CaO—MgO (см. рис. 4, Е) точки состава пород трубки Дынга и Жилы-79 несколько отклоняются от поля неалмазоносных пород Куойского поля, оконтуренного по данным, полученным авторами настоящей публикации.

Соотношение Ni/Co в породах трубки составляет 15—17, что выше, чем среднее значение для алмазоносных кимберлитов [7]. Однако повышенные значения этого соотношения характерны для многих тел Куойского поля. По содержанию TiO<sub>2</sub>, K<sub>2</sub>O и CaO/MgO изученные породы представляют собой популяцию 5, разновидность 12 ким-

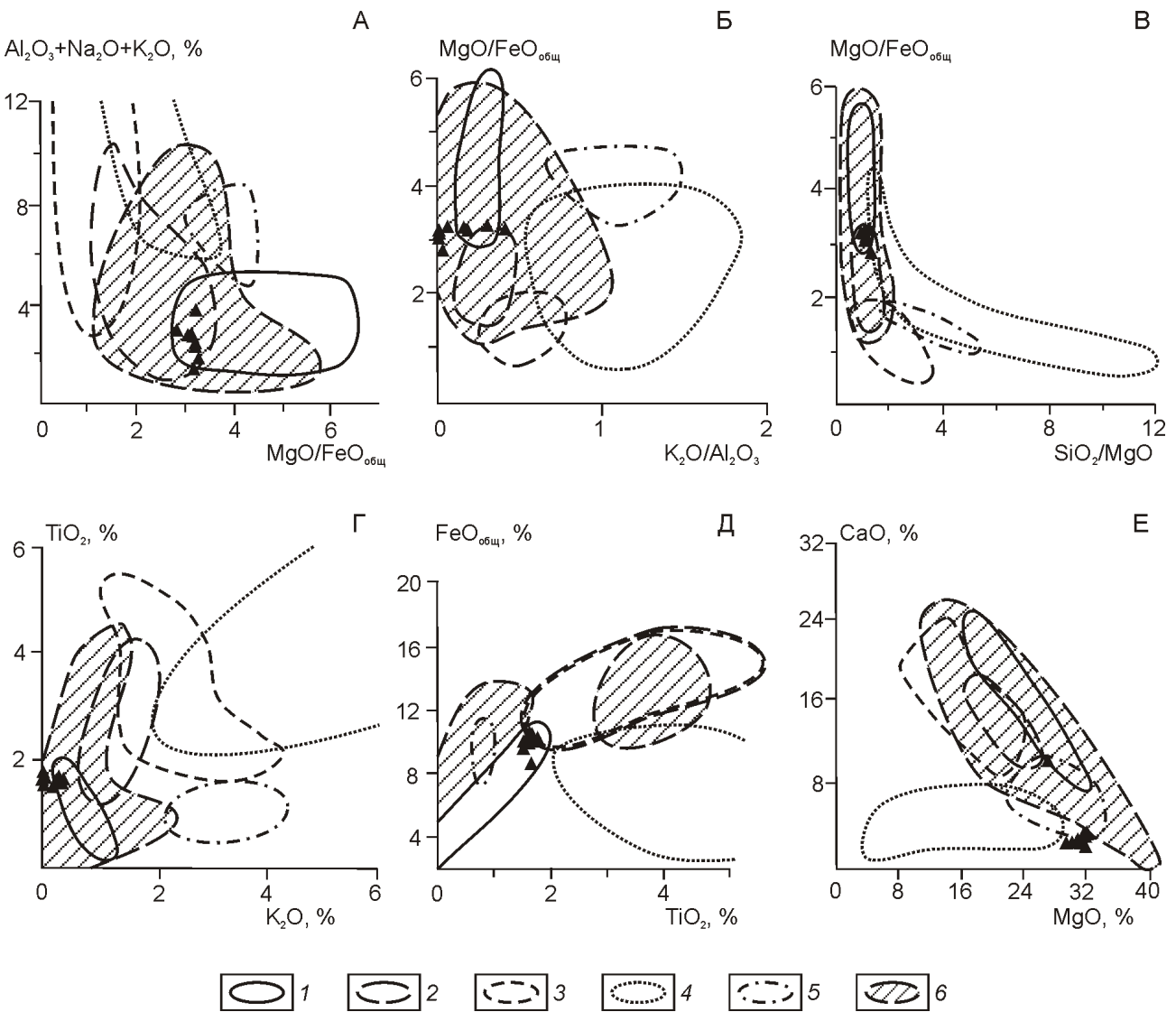


Рис. 4. Положение фигуративных точек состава пород трубы Д'янга на петрохимических диаграммах:

поля: 1 — алмазоносных кимберлитов внутренних районов ЯАП по [4, 7, 10]; 2 — неалмазоносных и убогоалмазоносных кимпикритов северных районов ЯАП по [10]; 3 — альпикритов Чадобецкого комплекса по [10]; 4 — лампроитов Австралии по [10]; 5 — оранжеитов трубы Финч по [10]; 6 — неалмазоносных тел Куойского поля

берлитов, относимую к магнезиальным кимберлитам. Глубина формирования подобных пород оценивается почти в 170 км, а  $T$  1500 С [5]. Породы, слагающие Жилу-79, относятся к разновидности 8 кимберлитов и образовались при более низкой  $T$  1400 С, что согласуется с повышением содержаний CaO, CO<sub>2</sub>, P<sub>2</sub>O<sub>5</sub> и уменьшением количеств MgO и SiO<sub>2</sub>.

В.А.Кононовой с соавторами установлено [9], что породы Куойского поля, на территории которого находится трубка Д'янга, характеризуются значительно пониженными содержаниями редких элементов, что приближает их к кимберлитам Накынского поля, которые сформировались в результате плавления вещества, близкого по составу к примитивной мантии и являются наиболее глубинными среди всех известных проявлений кимберлитов на территории Якутской кимберлитовой провинции [11]. Однако накынские кимберлиты относятся к низкотитанистому петрогохимическому типу, тогда как породы трубы

Д'янга — к умеренно титанистому [2], т.к. они менее глубинны.

В заключение следует отметить, что трубка Д'янга сложена автолитовой кимберлитовой брекчиеи, петрографические особенности которой отражают двухэтапный процесс ее формирования. Наблюдаемое интенсивное преобразование обломков осадочных пород, резорбция флогопитсодержащих серпентинитов, растворение макрокристаллов граната, флогопита и первовскитизация ильменита свидетельствуют о высокотемпературности кимберлитовой магмы интрузивного этапа внедрения. Постепенные контакты автолитов с вмещающей их кимберлитовой брекчиеи, присутствие макрокристаллов в различной степени серпентинизированного оливина, флогопита, ильменита, гранатов в автолитах и связующей массе, высокое содержание первовскита и ильменита в автолитах и редкие реликты их в связующей массе отражают неравномерное воздействие флюида и, как следствие, различную интенсивность

**5. Химический состав кимберлитовых пород трубы Дъянга и Жиля-79**

Компонент	Трубка Дъянга							Жиля-79			
	Интервал отбора проб м										
0—24 0	24 0—26 4	27 0—29 0	35 0	43 0	43 0—45 0	45 0	46 2	54 7—57 4	55 7	55 7	57 4—59 0
SiO <sub>2</sub>	37,24	35,84	35,56	33,65	35 10	34,99	33,5	34,55	35,45	35 00	33,69
TiO <sub>2</sub>	1,5	1,52	1,63	1,62	1 74	1,76	1,58	1 84	1,59	1 70	1,68
Al <sub>2</sub> O <sub>3</sub>	3,44	2,64	2,63	1,8	2 05	2,64	1,28	2 30	2,64	2 52	1,8
Fe <sub>2</sub> O <sub>3</sub>	7,14	7,62	6,85	4,46	6 02	6,98	4,23	6 02	10,11	6 34	4,23
FeO	2,4	2,5	3,22	5,59	4 24	3,27	5,7	4 22	0,52	3 88	5,87
MnO	0,12	0,11	0,12	0,11	0 12	0,13	0,14	0 15	0,12	0 13	0,11
MgO	30,83	31,68	31,42	32,15	32 21	32,38	32,5	31 67	32,38	31 98	32,39
CaO	2,52	2,52	2,75	3,5	3 14	2,94	3,62	3 51	2,15	3 09	3,21
Na <sub>2</sub> O	0,07	0,04	0,05	0,23	0 09	0,05	0,15	0 09	0,05	0 11	0,2
K <sub>2</sub> O	0,19	0,00	0 00	0,32	0 53	0 00	0,38	0 45	0 00	0 37	0,28
P <sub>2</sub> O <sub>5</sub>	0,11	0,11	0,09	0,14	0 11	0,06	0,14	0 10	0,06	0 91	0,16
SO <sub>3</sub>	0,13	0,11	0,17	0,07	Не опр.	0,18	0,13	Не опр.	0,16	Не опр.	0,15
CO <sub>2</sub>	2,71	2,73	3,07	3,67	3 36	2,73	3,67	3 73	2,92	3 35	3,67
H <sub>2</sub> O	11,25	12,11	12,28	12,49	10 56	11,71	11,02	10 73	12,26	10 89	12,42
NiO	Не опр.	Не опр.	Не опр.	0 2157	0 1399	Не опр.	0 1541	0 1272	Не опр.	0 1145	0 1028
CoO	Не опр.	Не опр.	Не опр.	0 0082	Не опр.	Не опр.	0 0078	Не опр.	0 0076	Не опр.	Не опр.
Сумма	99,65	99,53	99,84	100 02	99 42	99,82	98,19	99 50	100 41	100 39	99,96
											99,47
											99,44

*Примечания.* Анализы выполнены в лабораториях химико-аналитической и спектральных методов анализа ИГАЕМ СО РАН. Аналитики В.В.Гамянина Д.А.Кулагина Г.И.Капычева.

метасоматического преобразования пород (более интенсивного в брекчиях с высоким содержанием ксенолитов осадочных пород). На основании минерального состава автолитов, являющихся реликтами менее измененной породы, можно заключить, что оливин-флогопит-карбонат-перовскитовые ассоциации первичны.

Связующая масса автолитовой кимберлитовой брекции с высоким содержанием ксенолитов отличается от брекчии с атакситовой текстурой отсутствием реликтов оливина и более высоким содержанием карбоната. Те же признаки различий характерны и для автолитов автолитовой и атакситовой разновидностей кимберлитовых брекций. В автолитах верхних горизонтов трубы с увеличением содержания карбоната не сохраняется перовскит и флогопит. Реликты перовскита и титаномагнетита в основной массе встречаются редко, преимущественно вокруг порфировых выделений серпентинизированного оливина. Хлорит-серпентин-карбонатные ассоциации связующей массы атакситовой брекции свидетельствуют о низкой температуре постмагматического флюида.

Ксенолиты мантийных пород и минералы алмазного парагенезиса в породах трубы редки. С одной стороны, низкое содержание минералов-спутников алмаза, высокая железистость и титанистость позволяют отнести трубку к неалмазоносным типам кимберлитов. С другой, по редкоэлементной специфике, аналогичной таковой высокопродуктивных трубок, свидетельствует о ее алмазоносности. Полученные предварительные данные допускают, что трубка Дьянга с сопряженной Жилой-79 сформирована в несколько этапов. Становление ее было продолжительным, а последующие процессы постмагматической проработки та-ковы, что повлекли к снижению первоначальной алмазоносности.

*Авторы выражают глубокую признательность Л.И.Полуфунтиковой, выполнившей графическую часть работы.*

#### СПИСОК ЛИТЕРАТУРЫ

- Бабушкина С.А. Особенности состава макрокристаллов флогопита из алмазоносных кимберлитовых трубок Якутии // Зап. Всерос. минер. об-ва. 2002. № 6. С. 75—79.
- Богатиков О.А., Кононова В.А., Зинчук Н.Н. и др. Геохимические критерии продуктивности кимберлитов Якутской алмазоносной провинции // Геология алмаза — настоящее и будущее (геологи к 50-летнему юбилею г. Мирный и алмазодобывающей промышленности России). —Воронеж: изд-во Воронежского гос. ун-та, 2005. С. 743—752.
- Буланова Г.П., Барашков Ю.П., Тальникова С.Б., Смелова Г.Б. Природный алмаз — генетические аспекты. —Новосибирск: Наука, 1993.
- Василенко В.Б., Зинчук Н.Н., Кузнецова Л.Г. Главные факторы изменчивости химизма и алмазоносности продуктивных ким- берлитов Якутии // Геология, закономерности размещения, методы прогнозирования и поисков месторождений алмазов. —Мирный, 1998. С. 98—99.
- Василенко В.Б., Зинчук Н.Н., Кузнецова Л.Г., Минин В.А. Редкие земли и другие малые летучие элементы в свете структурных особенностей кимберлитов и их алмазоносности (на примере трубы Айхал) // Геология алмаза — настоящее и будущее (геологи к 50-летнему юбилею г. Мирный и алмазодобывающей промышленности России). —Воронеж: изд-во Воронежского гос. ун-та, 2005. С. 773—785.
- Дак А.И. Минералы-индикаторы кимберлитов из коренных источников и россыпей Анабаро-Оленёкского междуречья и связь с проблемой прогнозирования и поисков алмазных месторождений // Автореф. дис. ... канд. геол.-мин. наук. —Новосибирск, 1997.
- Зинчук Н.Н., Алябьев С.Г., Банзерук В.И. и др. Геология, вещественный состав и алмазоносность кимберлитов Накынского поля Якутии (на примере трубы Нюрбинская) // Геология алмаза — настоящее и будущее (геологи к 50-летнему юбилею г. Мирный и алмазодобывающей промышленности России). —Воронеж: изд-во Воронежского гос. ун-та, 2005. С. 807—824.
- Комаров А.Н., Илупин И.П. Геохронология кимберлитов Сибирской платформы по данным метода треков // Геохимия. 1990. № 3. С. 365—372.
- Кононова В.А., Голубева Ю.Ю., Богатиков О.А. Неоднородность состава кимберлитов и условия их формирования по данным петрохимии (Якутская и Архангельская провинции) // Петрография XXI века. Материалы международного петрографического совещания. —Апатиты, 2005. С. 110—112.
- Латин А.В., Толстов А.В., Лисицын Д.В. Кимберлиты и конвергентные породы: петрохимические критерии. —М., 2004.
- Похilenko Н.П., Агаев А.М., Вавилов М.А., Соболев Н.В. Аномальные кимберлиты Сибири и Канады: петролого-геохимические особенности и проблема происхождения // Петрография XXI века. Материалы международного петрографического совещания. —Апатиты, 2005. С. 199—201.
- Соболев Н.В. Глубинные включения в кимберлитах и проблема состава верхней мантии. —Новосибирск: Наука, 1974.
- Соловьева Л.В., Егоров К.Н., Маркова М.Е. и др. Мантийный метасоматизм и плавление в глубинных ксенолитах из трубы Удачная, их возможная связь с алмазо- и кимберлitoобразованием // Геология и геофизика. 1997. Т. 38. № 1. С. 172—194.
- Erlank A.J., Waters F.G., Hawkesworth C.J. et al. Evidence for mantle metasomatism in peridotite nodules from the Kimberley pipes, South Africa // Mantle metasomatism. Academic Press, 1987. P. 221—312.
- Griffin W.L., Ryan C.G., Kaminsky F.V. et al. The Siberian lithosphere traverse, mantle terranes and assembly of the Siberian Cratons // Tectonophysics. 1999. Vol. 310. P. 1—35.
- Mitchell R. H. Kimberlites: mineralogy, geochemistry and petrology. —New York: Plenum Press, 1986.
- Mitchell R. H. Kimberlites, orangeites, and related rocks. —New York: Plenum Press, 1995.
- Pokhilenko N.P., Sobolev N.V., Kuligin S.S., Shimizu N. Peculiarities of distribution of pyroxenite paragenesis garnets in Yakutian kimberlites and some aspects of the evolution of the Siberian craton lithospheric mantle // Proceedings of the VII-th International Kimberlite Conference. —Cape Town, 1999. Vol. 2. P. 689—698.